

弹性薄板与网格梁

倪明士 编著

科学技術出版社

彈性薄版与網格梁

倪明士 編著



科学技術出版社

內 容 提 要

本書討論結構工程中常用的一些均質、各向同性、受橫向荷重的各種薄版的小挠度平衡問題，兼及網格梁的分析原理。對薄版及網格梁的一般理論僅作必要的介紹，對各種具體問題的分析則以嚴正的理論解法與近似的分析法並重。

本書可作為高等學校土建系參考用書，更可供結構工程設計人員設計時參考查用。

彈性薄版与網格梁

編著者 倪明士

科學技術出版社出版

(上海南京西路 2004 号)

上海市書刊出版業營業許可證出 079 号

大众文化印刷厂印刷 新華書店上海發行所總經售

*
統一書號：15119·763

開本 850×1168 裝 1/32 · 印張 11 9/16 紙頁 4 張 · 字數 283,000

1958 年 8 月第 1 版

1958 年 8 月第 1 次印刷 印數 1—2,000

定價：(10) 2.00 元

序 言

薄版在結構工程中的用途甚廣。土建及造船等工程方面的結構物，常需采用各种式样的薄版構件。薄版構件的厚度与寬度比甚小，且受力后所產生的撓度亦極微小，故在研究分析时常称为薄版小撓度問題。

薄版小撓度問題是彈性力学中的重要問題之一，包括內容甚为丰富，除应用最廣并为众所周知的靜力平衡問題外，尚有振动和穩定問題。对于这些問題，本書不拟作全面介紹，而將集中討論一些工程上常用到的均質、各向同性、受橫向荷重的薄版的靜力平衡問題。涉及的有矩形版、方形版、圓形版、环形版、正三角形等杂形版、無梁版和有直交肋梁的大矩形版等。又網格梁的分析原理与版極为相似，故亦同时加以討論。除無梁版和網格梁主要供土建工程方面应用外，其余各种版件在某种程度下亦可供其他工程方面应用。

按照彈性力学來分析薄版小撓度問題，自可得到明确的物理概念及嚴正的解答；但对于某些条件复杂的問題的解答有时不免过于冗繁，于是在实用上不得不有賴于近似計算法。

本書編寫目的在于切合实用，故对一般理論僅作必要的介紹，大部分篇幅均集中于討論各种具体問題。嚴正的理論分析法和近似的数值計算法并重，俾可互相比較。所介紹的近似計算法有多种，如矩形版的馬尔庫斯法，加肋大型版的李滋法等；特別着重地討論了有限差分法，运用不同形狀的格網布置來分析矩形和方形版、三角形等杂形版与網格梁。关于正三角形格網和用有限差分

解網格梁的一些內容，系作者得到某些参考文献的啓發，經研究后的結果。

对于各具体問題除有数学公式可資推算外，并且附有許多計算表格，其中关于正三角形版的六幀表格，系華東工業建築設計院的圖表資料，承該院允准轉載特此志謝；对于網格梁者則按不同的布置繪成弯矩和剪力系数圖，这些圖表数值承吾妹慧瑾協助計算，亦志謝意。

作者限于專業水平，本書編寫系在公余之暇，倉卒完成，錯誤之处尚祈讀者隨時指正为幸。

倪明士

一九五七年十月

上海市民用建築設計院

第一章 薄版基本計算式的誘導

甲 概述

§ 1-1 应力性质的揣測 設在一四邊支持的矩形薄版面上，加有垂直于版面的横向荷重时，版面上的所有地点皆將產生位移，使原來的平面变成曲面。例如圖 1-1-01 a 所示的矩形版 $ABCD$ ，受荷重后，版上的任意点 F 即变位至 F' ，而使原在版平面上的直線 EF 和 GF 成 EF' 和 GF' 曲綫状态。从材料力学中梁的理論，可以断定撓曲的產生是由于弯矩的作用。因此，当 EF 变为 EF' 时必有一弯矩作用着，同样在 GF 变为 GF' 时亦必有弯矩的作用。更進一步而言，一般沿 EF 和 GF 線上的弯矩不一定为定量，而是有变化的，这样更会引起剪力的存在。

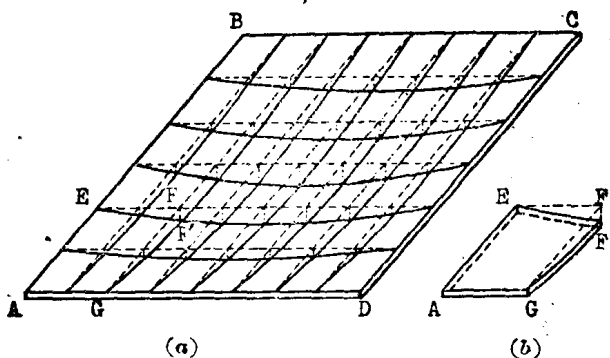


圖 1-1-01

如果我們將版的 $AEGF$ 部分分割而為自由体，如圖 1-1-01 b，我們發覺变形后的 $AGF'E$ 是一扭曲面。这就說明在 GF' 和 EF'

上尚有扭矩的作用。

因此僅从这些現象，我們可以肯定薄版受荷重或外力后所產生的应力有弯矩、剪力及扭矩的作用，比梁件上的应力作用要复杂些。

§ 1-2 矩形薄版分析法的進展 回顧一下矩形薄版的分析法的進展，頗為有趣。

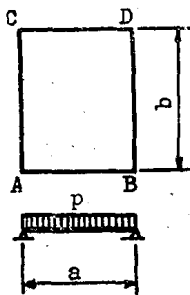


圖 1-2.01

(1) 薄版梁法：最早是將四邊支承的矩形薄版在兩短边上的支承作用略而不計；換言之，即不論版的長寬比為若干，皆作為單向版計算。顯然這是非常粗糙的方法，且當版的形狀愈近正方時，誤差愈大；對方形版而言，從對稱的關係看來，是難以理解的。按此規定，若方形版的邊長為 a （見圖 1-2.01），單位面積上的均布荷重為 p ，則在版中心的最大彎矩

$$M_{\max} = \frac{1}{8} pa^2 = 0.1250 pa^2。 \quad (1-2.01)$$

(2) 格子梁法：本法假定版是由縱橫二方向的狹版梁所組成的，而在任意點，從過該點的二方向的狹版梁所計算得的撓度應相等。如圖 1-2.02， EF 和 GH 為二個分別平行於 x -和 y -軸的狹版梁，它們的交點為 U 。若荷重 p 分布於二狹版梁的強度各為 p_x 及 p_y ，則在 U 點的撓度為

$$\left. \begin{aligned} w_x &= \alpha \frac{p_x a^4}{EI} \\ w_y &= \beta \frac{p_y b^4}{EI} \end{aligned} \right\} \quad (1-2.02)$$

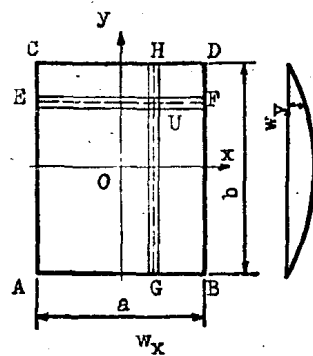


圖 1-2.02

其中 α 和 β 為撓度系數，隨 U 點的地位、荷重狀態及支承情形而定； E 為材料的彈性模量， I 為截面慣矩。因為 $w_x = w_y$ ，所以

$$\frac{p_x}{p_y} = \frac{\beta}{\alpha} \cdot \frac{b^4}{a^4}, \quad (1-2-03)$$

又因 $p_x + p_y = p$, 便得

$$\frac{p_x}{p} = \frac{\beta b^4}{\alpha a^4 + \beta b^4}, \quad \frac{p_y}{p} = \frac{\alpha a^4}{\alpha a^4 + \beta b^4} \quad (1-2-04)$$

將沿 x -軸上的荷重分配比 $\frac{p_x}{p}$ 按不同的長寬比繪成圖形，其分布狀態如圖 1-2-03 所示。從圖形可知，沿 x -軸上的荷重分配並不為均布狀，而是呈曲線形的，在中心為最小，至末端為最大；而當長寬比為 2 時，在 y -軸向的荷重僅為全部的 6% 左右，此即所以在實用上規定，在此值開始，即可作為單向版計算而無多大誤差。今為簡化起見，若假定方形版沿 x -軸的分配比圖形為拋物線（如圖中虛線），則可求得在版中心的最大彎矩為

$$M_{max} = \frac{7}{96} pa^2 = 0.0728 pa^2, \quad (1-2-05)$$

與(1-2-01)式相比，減小了許多。

(3) 中心交叉梁法：此法又名為格拉旭夫朗肯 (Grashof-Rankine) 法。其原理與前格子梁理論相似，唯一區別是假定版上的荷重分配比只以版中心的數值為準，作為均布的，而不計其曲線變化。這樣的假設，在理論上說是退步的，但在實用上却十分方便。依此，則方形版中心的最大彎矩即為

$$M_{max} = \frac{1}{8} \cdot \frac{p}{2} a^2 = 0.0625 pa^2, \quad (1-2-06)$$

比(1-2-05)式又小了若干。

(4) 對角線彎矩法：從實際試驗鋼筋混凝土版，至破損階段

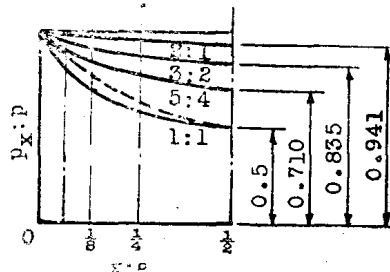


圖 1-2-03

时，可在版的底面上發現裂紋。当版的長寬比近乎1時，裂紋的地位很近乎对角線，但当比較大时，即有顯著的出入，然無論如何，

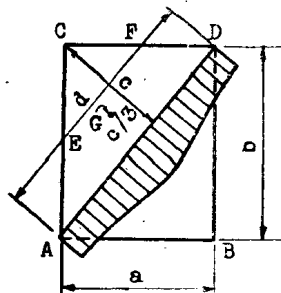


圖 1-2-04

裂紋的地位总顯示最大弯应力的地位；至于弯矩在对角線上如何分布，尙無法說明，在本法中假定其为均匀的。

在圖 1-2-04 中，当荷重为均布时，
AC 与 CD 边上的反力中心分别为 E 和
F 点；在 $\triangle ACD$ 上的荷重可假定集中
于 G 点，离 AD 对角線的垂直距离为

$\frac{1}{3} c$ 。从靜力平衡条件，在 AD 对角線上的弯距总值为

$$M_d = \frac{pab}{2} \cdot \frac{c}{2} - \frac{pab}{2} \cdot \frac{c}{3} = \frac{pab}{12} c,$$

因为

$$c = \frac{ab}{\sqrt{a^2 + b^2}},$$

所以

$$M_d = \frac{p}{12} \cdot \frac{a^2 b^2}{\sqrt{a^2 + b^2}}$$

分解至二个方向

$$\left. \begin{aligned} M_x &= \frac{a^3 b^2}{a^2 + b^2} \cdot \frac{p}{12} \\ M_y &= \frac{a^2 b^3}{a^2 + b^2} \cdot \frac{p}{12} \end{aligned} \right\} \quad (1-2-07)$$

以方形版而言，在版中心的單位宽度上的弯矩

$$M_{max} = \frac{1}{24} p a^2 = 0.0417 p a^2, \quad (1-2-08)$$

与前法比較再減小了些。

(5) 弹性力学的嚴正解：前述的各种方法是以材料力学而進行的計算法。版的应力作用，关連到 x 、 y 、 z 三个方向，所以是立体問題。我們將討論到按照弹性力学理論的基本計算式是偏微分方程式

$$\frac{\partial^4 w}{\partial x^4} + 2 \frac{\partial^4 w}{\partial x^2 \partial y^2} + \frac{\partial^4 w}{\partial y^4} = \frac{p}{N}, \quad (1-2-09)$$

其中 $N = \frac{Eh^3}{12(1-\mu)}$ 称为版的剛度, 与材料的彈性模量 E 、泊松比 (Poisson's Ratio) μ 、及厚度 h 有关。

随着对实际問題的研究, 从 (1-2-09) 式所得到的解答, 几乎全是冗長的級数, 包含着由三角函数、指数函数、双曲綫函数等所組成的多项式。此外亦有些問題, 即使是繁复的答案, 亦尚未能很好的解决。因此在实用上, 还有借助于数值計算的必要。

对于矩形薄版, 馬尔庫斯 (H. Marcus) 更有簡化的計算法。他比較了中心交叉梁法与彈性力学的理論解法, 發現这二个方法的主要不同点是在前法中忽視了版內交叉狭版梁間的扭轉作用。他用淺顯的結構力学的理論在前法中补充考慮了扭轉作用, 求得了非常近似于彈性力学的答案。

1925 年时, 德國曾規定使用馬尔庫斯的方法于鋼筋混凝土版件的計算。在当时曾引起了这样的問題: 即以各向同性的假設為基礎的算法, 是否亦適用于鋼筋混凝土版。反对者以为, 由于鋼筋混凝土版中在兩個方向的鋼筋不在同一平面, 并且当其有裂紋出現后抗扭作用是否存在殊屬疑問, 因此不宜采用。为此, 馬尔庫斯曾著文說明裂紋出現后的抗扭作用。同时給黑尔 (Gehler) 在 1927 ~30 年中, 曾做了許多試驗, 証明其使用的可能性。

以彈性力学理論計算薄版是与泊松比值有关的, 这对于钢材是比较肯定的 $\mu=0.3$ 。但对于鋼筋混凝土, 却是一个出入幅度很大的數值, 平均而言約为 $\frac{1}{5} \sim \frac{1}{7}$ 。在苏联規定一般民用結構中 μ 值的影响可略而不計, 僅对十分重要的版件, 始考慮之。

(6) 塑性理論解: 在 1950 年以前, 包括苏联在內, 各國对于鋼筋混凝土版的分析是以彈性理論為基礎的。最近苏联格复斯其夫 (Гвоздев) 教授制訂了以限界平衡理論、考慮了因塑性变形而產

生的应力重分布的計算法。

按照限界平衡理論，當鋼筋混凝土版的荷重能力逐漸消耗而至盡端時，在版的上下面上即有裂紋出現。這種裂紋即稱為塑性鉸，將版分为若干塊。因此，版件便可從超靜定結構而視為靜定結構，這樣，不僅簡化了計算工作，且又可節約材料。

乙 理論分析

§ 1-3 薄版小撓度問題的基本假設 ① 高度遠小於底面尺度的柱形彈性體，而成扁平的版形時，即稱為薄版。平行於薄版的上下面、且又平分其厚度的平面，稱為中央面。當薄版受垂直於版面的橫向荷重時，版便要發生撓曲，並且在其平面內尚有張力發生，但當

(1) 版的厚度遠較它的其他二尺度為小，
和 (2) 版的撓度比它的厚度小，
則 (3) 版平面內的張力即可略而不計；
同時，按照線性平版理論，尚假定

(4) 在撓曲前中央面的法線在變形後仍為撓曲中央面法線，
和 (5) 版的各水平層間無正應力存在。

這些便是彈性薄版小撓度問題的基本假設。據此可誘導基本計算式而解決各種具體問題。

(一) 直角坐标

§ 1-4 傾度與曲率 在分析版內各種應力前，必須對撓曲面的性質有所明瞭。將版的中央平面安置在坐標所成的 xy -面上，如圖 1-4-01 a。版受彎曲後，中央平面上各點即有位移產生，這樣的位移在今后版的討論中即稱為撓度。現考慮過該面上的任何一點 a ，取一微分體素 $dx \cdot dy$ ，並過 a 點作 m_1 -面垂直於 xy -面，則在

① 參閱 H. H. 別茹霍夫：彈性與塑性理論 p. 263；錢偉長：彈性力學，p. 253。

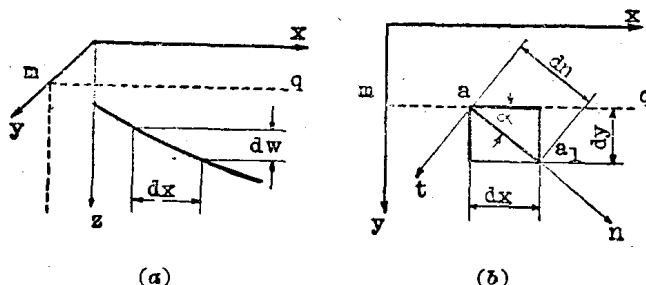


圖 1-4-01

該點沿 x -方向的傾度為 $i_{ax} = \frac{\partial w}{\partial x}$ 。同樣在 a 点沿 y -方向的傾度為 $i_{ay} = \frac{\partial w}{\partial y}$ 。倘過 a 点在 xy -面上取一任意方向 an 與 x -軸成 α 角，則 a 点與 a_1 点的撓度差為

$$dw = \frac{\partial w}{\partial x} dx + \frac{\partial w}{\partial y} dy,$$

同時它的相當傾度為

$$\begin{aligned} \frac{\partial w}{\partial n} &= \frac{\partial w}{\partial x} \cdot \frac{dx}{dn} + \frac{\partial w}{\partial y} \cdot \frac{dy}{dn} = \\ &= \frac{\partial w}{\partial x} \cos \alpha + \frac{\partial w}{\partial y} \sin \alpha. \end{aligned} \quad (1-4-01)$$

將上式微分一次，并使等於零，即得到傾度最大時的方向角 α_1 的

$$\tan \alpha_1 = \frac{\frac{\partial w}{\partial y}}{\frac{\partial w}{\partial x}}, \quad (1-4-02)$$

所以 $\frac{\partial w}{\partial n}$ 的最大值為

$$\left(\frac{\partial w}{\partial n} \right)_{\max} = \sqrt{\left(\frac{\partial w}{\partial x} \right)^2 + \left(\frac{\partial w}{\partial y} \right)^2}. \quad (1-4-03)$$

再使(1-4-01)式為零，即得到傾度為零的方向角 α_2 的

$$\tan \alpha_2 = -\frac{\frac{\partial w}{\partial x}}{\frac{\partial w}{\partial y}}; \quad (1-4-04)$$

从(1-4-02)和(1-4-04)式,可知

$$\tan \alpha_1 \cdot \tan \alpha_2 = -1,$$

此即表明:在薄版撓曲面上任一点 a 处的最大倾度方向恒与倾度为零的方向互相垂直。

从微分学,我们知道在曲线上任一点的曲率等于其曲率半径的倒数,因此若以 r_x 代表在薄版撓曲后的中央平面上任意点沿 x -方向的曲率半径,则

$$\frac{1}{r_x} = \frac{\frac{\partial^2 w}{\partial x^2}}{\left[1 + \left(\frac{\partial w}{\partial x} \right)^2 \right]^{\frac{3}{2}}}.$$

因为薄版的撓度很小,所以 $\tan \alpha \approx \alpha$, $\tan^2 \alpha \approx 0$,于是

$$\frac{1}{r_x} = -\frac{\partial}{\partial x} \left(\frac{\partial w}{\partial x} \right) = -\frac{\partial^2 w}{\partial x^2}. \quad (1-4-05)$$

撓曲向下时,曲率规定为正,因而使 $\frac{1}{r_x}$ 的值带有负号。按同理可知在沿 y -方向的曲率为

$$\frac{1}{r_y} = -\frac{\partial}{\partial y} \left(\frac{\partial w}{\partial y} \right) = -\frac{\partial^2 w}{\partial y^2}. \quad (1-4-06)$$

(1-4-05)和(1-4-06)式说明薄版曲率的计算与梁者相同。至于在 a 点而沿任意方向 an 的中央平面的曲率则应为

$$\frac{1}{r_n} = -\frac{\partial}{\partial n} \left(\frac{\partial w}{\partial n} \right). \quad (1-4-07)$$

从(1-4-01)式

$$\frac{\partial w}{\partial n} = \frac{\partial w}{\partial x} \cos \alpha + \frac{\partial w}{\partial y} \sin \alpha,$$

和

$$\frac{\partial}{\partial n} = \frac{\partial}{\partial x} \cos \alpha + \frac{\partial}{\partial y} \sin \alpha,$$

所以

$$\begin{aligned}\frac{1}{r_n} &= - \left(\frac{\partial}{\partial x} \cos \alpha + \frac{\partial}{\partial y} \sin \alpha \right) \left(\frac{\partial w}{\partial x} \cos \alpha + \frac{\partial w}{\partial y} \sin \alpha \right) = \\ &= - \left(\frac{\partial^2 w}{\partial x^2} \cos^2 \alpha + 2 \frac{\partial^2 w}{\partial x \partial y} \sin \alpha \cos \alpha + \frac{\partial^2 w}{\partial y^2} \sin^2 \alpha \right) = \\ &= \frac{1}{r_x} \cos^2 \alpha - \frac{1}{r_{xy}} \sin 2\alpha + \frac{1}{r_y} \sin^2 \alpha \quad (1-4.08)\end{aligned}$$

式中 $\frac{1}{r_{xy}} = \frac{\partial^2 w}{\partial x \partial y}$ 常称为对 x -和 y -軸的扭轉(以下簡称扭轉)。

我們再求沿另一与 an 垂直的新方向 at 的曲率；將(1-4.08)式中的 α 用 $(\frac{\pi}{2} + \alpha)$ 替代，便得

$$\frac{1}{r_t} = \frac{1}{r_x} \sin^2 \alpha + \frac{1}{r_{xy}} \sin 2\alpha + \frac{1}{r_y} \cos^2 \alpha \quad (1-4.09)$$

如將(1-4.08)和(1-4.09)式相加，則

$$\frac{1}{r_x} + \frac{1}{r_y} = \frac{1}{r_n} + \frac{1}{r_t}, \quad (1-4.10)$$

这就是說，撓曲面上任一点 a 沿任意二相垂直方向的曲率之和与角度 α 無关。此和值有时亦称为該点的平均曲率。

在任意点 a 对于 an 及 at 兩方向的扭轉为

$$\frac{1}{r_{nt}} = \frac{d}{dt} \left(\frac{dw}{dn} \right),$$

因为 an 和 at 相垂直，所以將(1-4.01)式的 α 用 $(\frac{\pi}{2} + \alpha)$ 替代，便得

$$\begin{aligned}\frac{1}{r_{nt}} &= \left(\frac{\partial}{\partial x} \cos \alpha + \frac{\partial}{\partial y} \sin \alpha \right) \left(- \frac{\partial w}{\partial x} \sin \alpha + \frac{\partial w}{\partial y} \cos \alpha \right) = \\ &= \frac{1}{2} \sin 2\alpha \left(- \frac{\partial^2 w}{\partial x^2} + \frac{\partial^2 w}{\partial y^2} \right) + \cos 2\alpha \frac{\partial^2 w}{\partial x \partial y},\end{aligned}$$

或

$$\frac{1}{r_{nt}} = \frac{1}{2} \sin 2\alpha \left(\frac{1}{r_x} - \frac{1}{r_y} \right) + \cos 2\alpha \frac{1}{r_{xy}} \quad (1-4-11)$$

將(1-4-08)式对 α 微分并使等于零,便得在此任意点 a 的最大与最小曲率的方向,即

$$\frac{1}{r_x} \sin 2\alpha + \frac{2}{r_{xy}} \cos 2\alpha - \frac{1}{r_y} \sin 2\alpha = 0 \quad (1-4-12)$$

或

$$\tan 2\alpha = - \frac{\frac{2}{r_{xy}}}{\frac{1}{r_x} - \frac{1}{r_y}} \quad (1-4-13)$$

由(1-4-13)式,可求得兩個 α 的值,相差 $\frac{\pi}{2}$ 。將此二值代入(1-4-07)式即有兩個 $\frac{1}{r_n}$ 值,一个是最大小值,另一个是最小值,此即在該任意点的主曲率,而該兩個如圖1-4-01 b上所示的 $nz-$ 和 $taz-$ 面即称为曲率主面。因此若將坐标面 $zz-$ 和 $yz-$ 平行于此二个曲率主面,則(1-4-08)和(1-4-11)式即簡化为

$$\left. \begin{aligned} \frac{1}{r_n} &= \frac{1}{r_x} \cos^2 \alpha + \frac{1}{r_y} \sin^2 \alpha \\ \frac{1}{r_{nt}} &= \frac{1}{2} \left(\frac{1}{r_x} - \frac{1}{r_y} \right) \sin 2\alpha \end{aligned} \right\} \quad (1-4-14)$$

(1-4-12)式的左边恰为(1-4-11)式的二倍,所以若 an 和 at 是曲率主面,則 $\frac{1}{r_{nt}}$ 必等于零。

§ 1-5 应力和弯矩 圖1-5-01表示薄版在沿 $x-$ 方向某垂直面上撓曲后的状态。从該圖可知,在中性面上任意点 F' 的法綫于撓曲过程中所轉过的角为 $-\frac{\partial w}{\partial x}$ 。这里所以采用負号是当 z 以負值代入(即在中性軸以下)时、能相当于拉应力区域有正的应变值。从这一轉动可使在离中性軸 F' 点 z 距离外有一沿 $x-$ 方向的偏移

$$u = -z \cdot \frac{\partial w}{\partial x}, \quad (1-5-01)$$

同理，沿 y -方向，該點的偏移可用

$$v = -z \cdot \frac{\partial w}{\partial y} \quad (1-5-02)$$

表示，亦即在 x -和 y -方向的應變為

$$\epsilon_x = \frac{\partial u}{\partial x} = -z \frac{\partial^2 w}{\partial x^2}, \quad \epsilon_y = \frac{\partial v}{\partial y} = -z \frac{\partial^2 w}{\partial y^2} \quad (1-5-03)$$

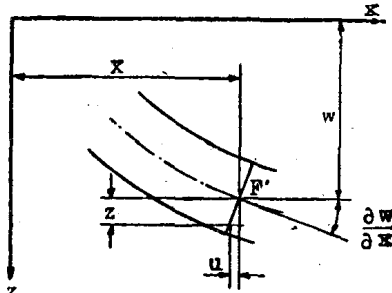


圖 1-5-01

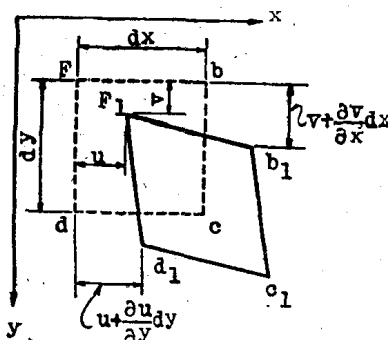


圖 1-5-02

为了求得相应的剪应变的算式，更进一步在 F 处取一微分体素 $Fbcd$ ，見圖 1-5-02。它的 Fb 和 Fd 边分别平行于 x -和 y -方向，并距离中性軸的距离亦为 z 。受弯矩作用后， F 、 b 、 c 和 d 四角点即有偏移。若 F_1 点的偏移为 (u, v) ，則 d 点的偏移沿 x -方向

是 $u + \frac{\partial u}{\partial y} dy$ ， b 点沿 y -方向的偏移是 $v + \frac{\partial v}{\partial x} dx$ 。因此剪应变是

$$\gamma_{xy} = \frac{\partial u}{\partial y} + \frac{\partial v}{\partial x} \quad (1-5-04)$$

將(1-5-01)和(1-5-02)式代入(1-5-04)式，便得

$$\gamma_{xy} = -2z \frac{\partial^2 w}{\partial x \partial y} \quad (1-5-05)$$

根据虎克定律

$$\left. \begin{aligned} \epsilon_x &= \frac{\sigma_x}{E} - \mu \frac{\sigma_y}{E} \\ \epsilon_y &= \frac{\sigma_y}{E} - \mu \frac{\sigma_x}{E} \end{aligned} \right\} \quad (1-5-06)$$

式中 E 为材料的彈性模量, μ 为其泊松比。所以从 (1-5·03) 和 (1-5·06) 式可知

$$\left. \begin{aligned} \sigma_x &= \frac{E}{1-\mu^2} (\epsilon_x + \mu \epsilon_y) = -\frac{Ez}{1-\mu^2} \left(\frac{\partial^2 w}{\partial x^2} + \mu \frac{\partial^2 w}{\partial y^2} \right), \\ \sigma_y &= \frac{E}{1-\mu^2} (\epsilon_y + \mu \epsilon_x) = -\frac{Ez}{1-\mu^2} \left(\frac{\partial^2 w}{\partial y^2} + \mu \frac{\partial^2 w}{\partial x^2} \right) \end{aligned} \right\} \quad (1-5·07)$$

$$\left. \begin{aligned} &= -\frac{Ez}{1-\mu^2} \left(\frac{1}{r_x} + \mu \frac{1}{r_y} \right), \\ &= -\frac{Ez}{1-\mu^2} \left(\frac{1}{r_y} + \mu \frac{1}{r_x} \right). \end{aligned} \right\}$$

这种垂直于微分体素侧面的叫做正应力。正应力为拉力时规定为正, 压力时为负。再水平的剪应力的值为

$$\tau_{xy} = G \gamma_{xy} = -2Gz \frac{\partial^2 w}{\partial x \partial y} = -2Gz \frac{1}{r_{xy}}. \quad (1-5·08)$$

式中 G 为刚性模量。又象梁的理論, 在任何地点垂直剪应力应等于水平剪应力的理由一样, 考慮到此微分体素沿 z -軸的力偶平衡得

$$\tau_{xy} = \tau_{yx}.$$

圖 1-5·03 a 所示 σ_x 、 σ_y 、 τ_{xy} 和 τ_{yx} 的方向皆表示正方向。

因为此微分体素是極为微小的, 所以在各側面上的各种应力成分即可視為是在 F 点沿各截面的应力。正应力和水平剪力必可依其厚度化为力偶, 即在單位長度上的

$$\left. \begin{aligned} M_x &= \int_{-\frac{h}{2}}^{+\frac{h}{2}} \sigma_x z dz, \\ M_y &= \int_{-\frac{h}{2}}^{+\frac{h}{2}} \sigma_y z dz, \\ M_{xy} &= - \int_{-\frac{h}{2}}^{+\frac{h}{2}} \tau_{xy} z dz, \end{aligned} \right\} \quad (1-5·09)$$